

# Teoria Względności



Zbigniew Osiak

**Czarne Dziury**

11

Linki do moich publikacji naukowych i popularnonaukowych, e-booków oraz audycji telewizyjnych i radiowych są dostępne w bazie ORCID pod adresem internetowym:

<http://orcid.org/0000-0002-5007-306X>

**Zbigniew Osiak** (Tekst)

**TEORIA WZGLĘDNOŚCI**  
Czarne Dziury

**Małgorzata Osiak** (Ilustracje)

© Copyright 2012 by  
Zbigniew Osiak (text) and Małgorzata Osiak (illustrations)

Wszelkie prawa zastrzeżone.  
Rozpowszechnianie i kopiowanie całości lub części publikacji  
zabronione bez pisemnej zgody autora tekstu i autorki ilustracji.

Portret autora zamieszczony na okładkach przedniej i tylnej  
Rafał Pudło

Wydawnictwo: Self Publishing

ISBN: 978-83-272-3447-6

e-mail: [zbigniew.osiak@gmail.com](mailto:zbigniew.osiak@gmail.com)

# TEORIA WZGLĘDNOŚCI

## Czarne Dziury

**dr Zbigniew Osiak**

Portrety wykonała

**Małgorzata Osiak**

## Ojcowie grawitacji

- Prawo grawitacji Newtona 10
- Prawo grawitacji Gaussa 11
- Równanie pola i równania ruchu Poissona 12
- Dwupotencjalność stacjonarnego pola grawitacyjnego 13

## Ogólna Teoria Względności

- I powstała Ogólna Teoria Względności (OTW) 19
- Podstawowe postulaty OTW 20
- OTW i grawitacja 21
- Równania pola w OTW 22
- Równania ruchu cząstki próbnej w OTW 23
- Rozwiązanie zewnętrzne Schwarzschilda 25

## Czarne dziury

- Masy źródłowe 27
- Czarna dziura 28

- Trafna nazwa 29
- Promienie Schwarzschilda różnych obiektów 30
- Jak powstają czarne dziury? 31

### Antygravitacja

- Antygravitacja 33
- Czarna dziura z otoczką antygravitacyjną 34
- Proponowane doświadczenie 36

### Sukcesy i porażki Teorii Wielkiego Wybuchu

- Kosmologiczne rozwiązanie Friedmana 38
- Wielki Wybuch 39
- Paradoks fotometryczny Olbersa 40
- Obserwacje i prawo Hubble'a 41
- Mikrofalowe promieniowanie tła 42
- Satelita COBE 43
- Przyspieszający Wszechświat 45

- Sukcesy i porażki Teorii Wielkiego Wybuchu 47

### Wszechświat jako czarna dziura

- Paradoks fotonowy 49
- Czy fotony mają pamięć? 51
- Jak zdefiniować poczerwienienie? 53
- Nasz Wszechświat jako czarna dziura z otoczką antygravitacyjną 54

### Równania

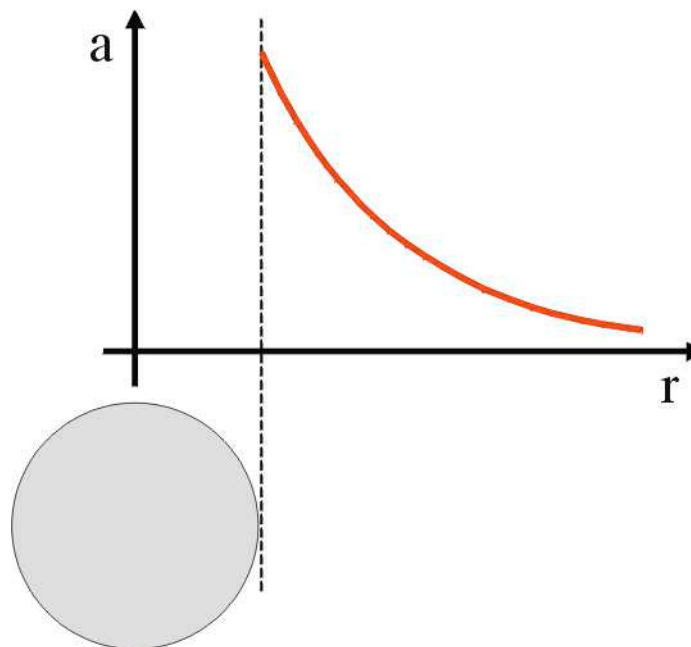
- Twórcy rachunku tensorowego 59
- Tensor krzywizny Ricciego i symbole Christoffela 61
- Kontrawariantny tensor metryczny 62



# Ojcowie grawitacji

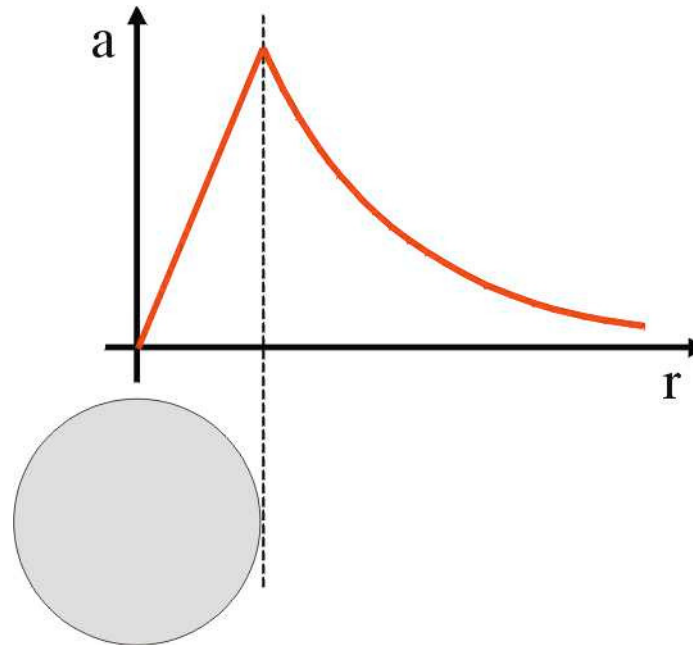


- Wartość przyspieszenia grawitacyjnego swobodnej cząstki **na zewnątrz** źródłowej masy, którą stanowi jednorodna kula, maleje odwrotnie do kwadratu odległości od centrum tej kuli.





- Z prawa Gaussa wynika, że **wewnątrz** jednorodnej kuli wartość przyspieszenia grawitacyjnego rośnie liniowo z odległością od centrum, gdzie jest równa zero.





Siméon Poisson  
(1781-1842)

- W teorii Poissona pole grawitacyjne scharakteryzowane jest przez podanie w każdym punkcie przestrzeni jednej wielkości nazywanej potencjałem grawitacyjnym. Znając potencjały grawitacyjne, można wyznaczyć przyspieszenie swobodnej cząstki.

$$\frac{\partial^2 \varphi}{\partial x^2} + \frac{\partial^2 \varphi}{\partial y^2} + \frac{\partial^2 \varphi}{\partial z^2} = 4\pi G\rho \quad \text{Równanie pola}$$

$$\frac{d^2 x_\mu}{dt^2} = - \frac{\partial \varphi}{\partial x_\mu} \quad \text{Równania ruchu}$$

- Z fizyki klasycznej wiadomo, że bezwzględna wartość przyspieszenia grawitacyjnego w centrum jednorodnej kuli o stałej gęstości jest równa zero, wraz ze wzrostem odległości od środka – rośnie liniowo, osiągając maksymalną wartości na powierzchni kuli, przy dalszym wzroście odległości – maleje odwrotnie kwadratowo.
- Aby w ramach OTW uzyskać analogiczny wynik, należy zauważyć, że stacjonarne pole grawitacyjne jest polem dwupotencjalnym.
- W fizyce klasycznej wygodnie jest posługiwać się tylko jednym potencjałem, znikającym nieskończenie daleko od centrum źródłowej masy.

- Równanie Poissona dla potencjału wewnątrz źródłowej masy różni się od klasycznego równania Poissona tylko znakiem prawej strony, dla potencjału na zewnątrz źródłowej masy nie trzeba wprowadzać żadnej poprawki.

$$\frac{\partial^2 \varphi^{\text{in}}}{\partial x^2} + \frac{\partial^2 \varphi^{\text{in}}}{\partial y^2} + \frac{\partial^2 \varphi^{\text{in}}}{\partial z^2} = -4\pi G\rho, \quad 0 \leq r < R, \quad \lim_{r \rightarrow 0} \varphi^{\text{in}} = 0$$
$$\frac{\partial^2 \varphi^{\text{ex}}}{\partial x^2} + \frac{\partial^2 \varphi^{\text{ex}}}{\partial y^2} + \frac{\partial^2 \varphi^{\text{ex}}}{\partial z^2} = 0, \quad r \geq R, \quad \lim_{r \rightarrow \infty} \varphi^{\text{ex}} = 0$$

$$\mathbf{a}^{\text{in}} = \text{grad}\varphi^{\text{in}} = -\tilde{k}\text{grad}\varphi^{\text{in}}, \quad 0 \leq r < R, \quad \lim_{r \rightarrow 0} \varphi^{\text{in}} = 0$$

$$\mathbf{a}^{\text{ex}} = -\text{grad}\varphi^{\text{ex}} = -\tilde{k}\text{grad}\varphi^{\text{ex}}, \quad r \geq R, \quad \lim_{r \rightarrow \infty} \varphi^{\text{ex}} = 0$$

$$\mathbf{a}_r^{\text{in}} = -\frac{4}{3}\pi G \rho r, \quad \varphi^{\text{in}} = -\frac{2}{3}\pi G \rho r^2, \quad \mathbf{a}_r^{\text{ex}} = -\frac{GM}{r^2}, \quad \varphi^{\text{ex}} = -\frac{GM}{r}$$

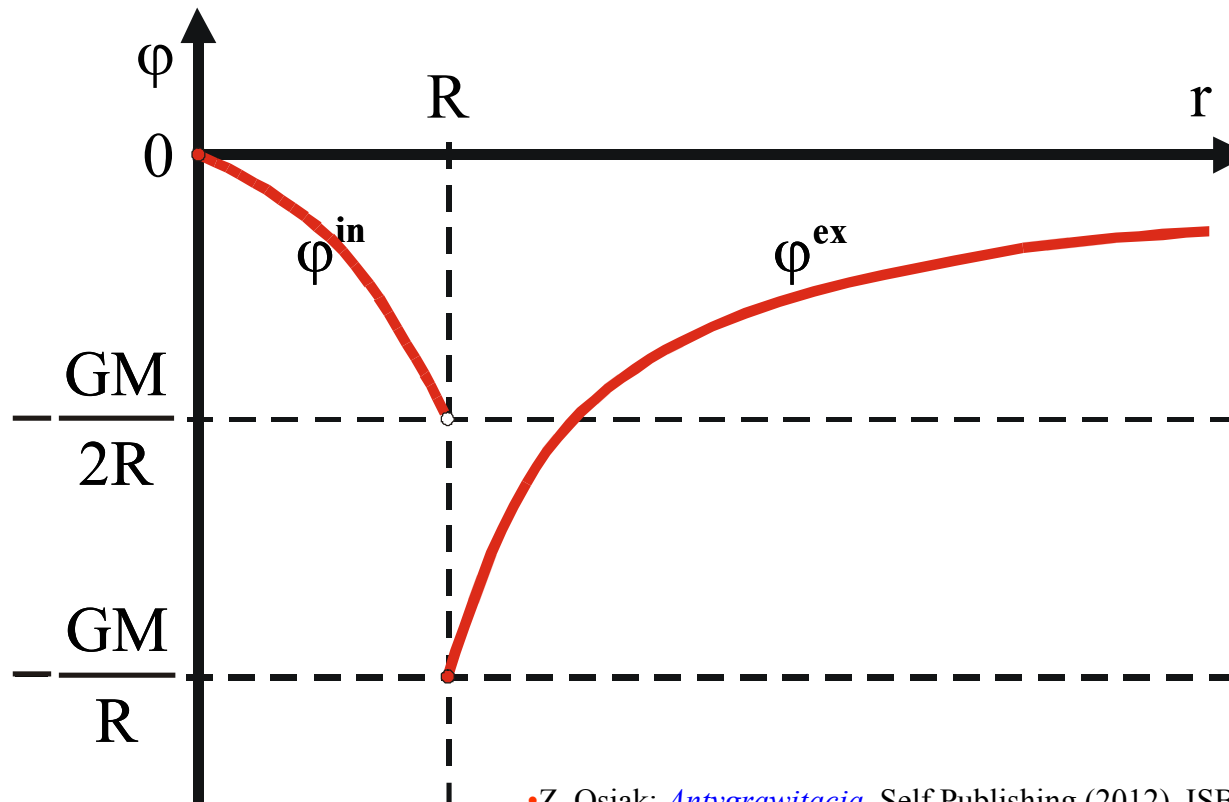
$$\tilde{k} = \begin{cases} +1 & \text{na zewnątrz źródlowych mas} \\ -1 & \text{wewnątrz źródlowych mas} \end{cases}$$

- Na powierzchni kuli mamy

$$\varphi^{\text{in}} - \varphi^{\text{ex}} = \frac{GM}{2R}, \quad \mathbf{a}^{\text{in}} - \mathbf{a}^{\text{ex}} = 0$$

$$\varphi^{\text{in}} = -\frac{GM}{2R^3} r^2, \quad 0 \leq r < R, \quad \lim_{r \rightarrow 0} \varphi^{\text{in}} = 0$$

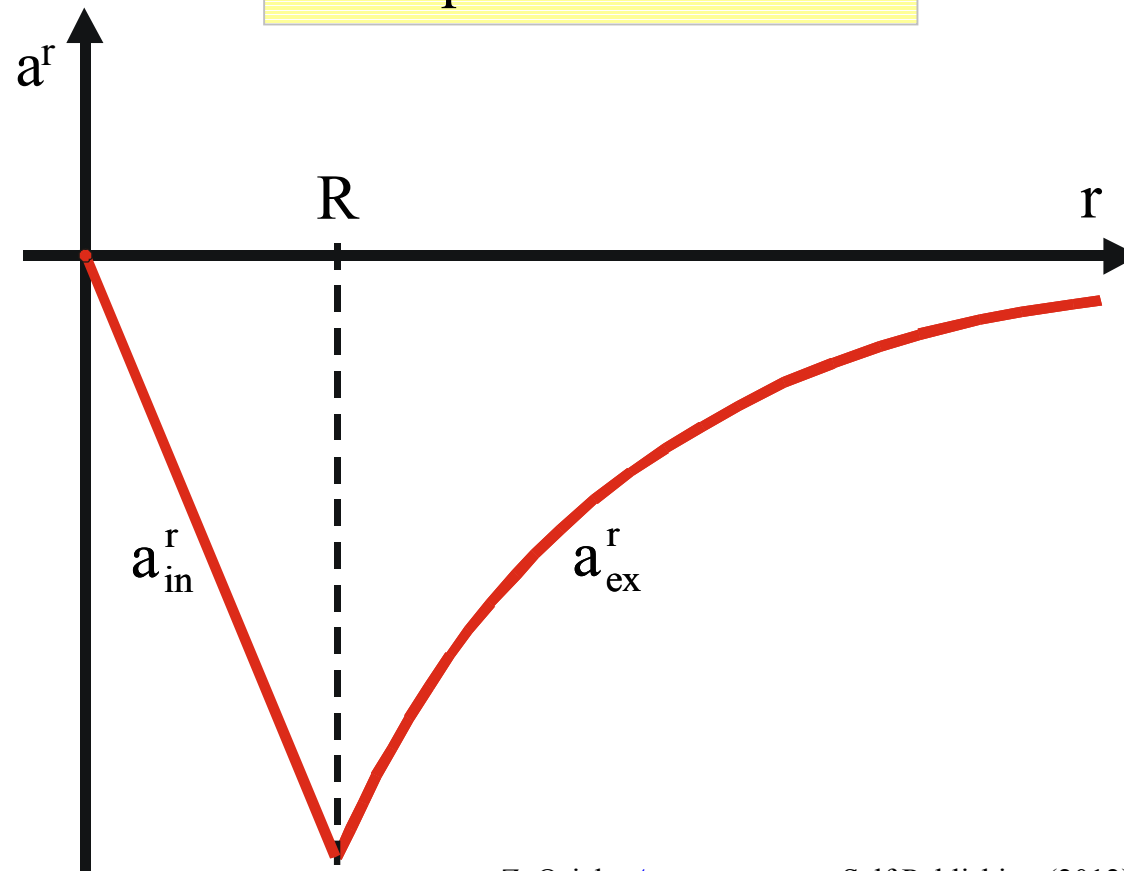
$$\varphi^{\text{ex}} = -\frac{GM}{r}, \quad r \geq R, \quad \lim_{r \rightarrow \infty} \varphi^{\text{ex}} = 0$$



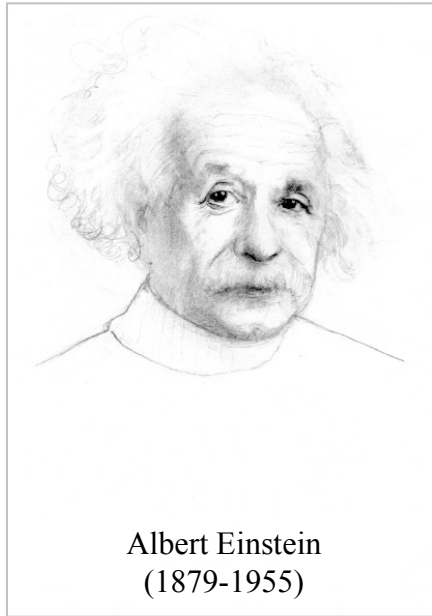


$$a_{\text{in}}^r = -\frac{GM}{R^3} r, \quad 0 \leq r < R$$

$$a_{\text{ex}}^r = -\frac{GM}{r^2}, \quad r \geq R$$



# Ogólna Teoria Względności



Albert Einstein  
(1879-1955)

- 25 listopada 1915 na posiedzeniu Królewskiej Pruskiej Akademii Nauk Albert Einstein przedstawił pracę **Równania polowe grawitacji**.
- Kończyła ona trwający osiem lat etap tworzenia Ogólnej Teorii Względności.

• A. Einstein: *Die Feldgleichungen der Gravitation*.

Sitzungsberichte der Königlich Preussischen Akademie der Wissenschaften **2**, 48 (1915) 844-847. *Równania polowe grawitacji*.

**Postulat 1** (zasada stałości maksymalnej wartości prędkości)

Maksymalna wartość prędkości rozchodzenia się sygnałów jest taka sama we wszystkich układach odniesienia.

**Postulat 2** (ogólna zasada względności)

Definicje wielkości fizycznych oraz prawa (równania) fizyki można tak sformułować, aby ich ogólne postacie były niezależne od wyboru układu odniesienia.

**Postulat 3** (równania metryki, równania pola grawitacyjnego)

Metryka czasoprzestrzeni jest zależna od rozkładu gęstości energii wszelkiej postaci (w tym gęstości energii równoważnej masie oraz ciśnienia). Składowe tensora metrycznego są rozwiązaniami równań pola.

**Postulat 4** (zasada równoważności)

Masa inercyjna jest równa masie grawitacyjnej.

- W ramach OTW pole grawitacyjne opisywane jest dziesięcioma wielkościami, będącymi składowymi tensora metrycznego, spełniającymi rolę potencjałów grawitacyjnych.
- Pole grawitacyjne jest wynikiem deformacji czasoprzestrzeni, która zależy lokalnie od gęstości energii wszelkiej postaci. Informacje o źródłach pola grawitacyjnego zawiera tensor energii-pędu.
- Rozwiązanie dziesięciu równań pola Einsteina, przy zadanych dziesięciu składowych tensora energii-pędu, polega na znalezieniu dziesięciu składowych tensora metrycznego spełniających te równania.

$$R_{\mu\nu} = -\kappa \left( T_{\mu\nu} - \frac{1}{2} g_{\mu\nu} T \right) \quad \text{lub} \quad R_{\mu\nu} - \frac{1}{2} g_{\mu\nu} R = -\kappa T_{\mu\nu}$$

$$T \stackrel{\text{df}}{=} g^{\alpha\beta} T_{\alpha\beta}, \quad R \stackrel{\text{df}}{=} g^{\alpha\beta} R_{\alpha\beta}$$

$$\kappa = \frac{8\pi G}{c^4} = 2,073 \cdot 10^{-43} \frac{\text{s}^2}{\text{kg} \cdot \text{m}}$$

$$R_{\mu\nu} = \frac{\partial \Gamma_{\mu\alpha}^{\alpha}}{\partial x^{\nu}} - \frac{\partial \Gamma_{\mu\nu}^{\alpha}}{\partial x^{\alpha}} + \Gamma_{\mu\alpha}^{\beta} \Gamma_{\beta\nu}^{\alpha} - \Gamma_{\mu\nu}^{\beta} \Gamma_{\beta\alpha}^{\alpha}$$

$$\Gamma_{\mu\nu}^{\alpha} = \frac{1}{2} g^{\alpha\sigma} \left( \frac{\partial g_{\mu\sigma}}{\partial x^{\nu}} + \frac{\partial g_{\nu\sigma}}{\partial x^{\mu}} - \frac{\partial g_{\mu\nu}}{\partial x^{\sigma}} \right)$$

$$\frac{\tilde{F}^\alpha}{m} = \tilde{a}_{\text{force}}^\alpha \stackrel{\text{df}}{=} \left( \text{sgn } ds^2 \right) c^2 \left( \frac{d^2 x^\alpha}{ds^2} + \tilde{k} \Gamma_{\mu\nu}^\alpha \frac{dx^\mu}{ds} \frac{dx^\nu}{ds} \right)$$

$$ds^2 = g_{\mu\nu} dx^\mu dx^\nu \neq 0, \quad \left( \text{sgn } ds^2 \right) g_{\mu\nu} \leq 0$$

$$\tilde{k} = \begin{cases} +1 & \text{na zewnątrz źródłowych mas} \\ -1 & \text{wewnątrz źródłowych mas} \end{cases}$$

$$\frac{\tilde{F}^\alpha}{m} = \tilde{a}_{\text{force}}^\alpha = \tilde{a}_{\text{total}}^\alpha - \tilde{a}_{\text{grav\&iner}}^\alpha$$

$$\tilde{a}_{\text{total}}^\alpha = \frac{\tilde{F}^\alpha}{m} + \tilde{a}_{\text{grav\&iner}}^\alpha$$

- Składowa (odpowiadająca wskaźnikowi  $\alpha$ ) całkowitego przyspieszenia swobodnej cząstki

$$\tilde{a}_{\text{total}}^\alpha = \tilde{a}^\alpha = \left( \text{sgn } ds^2 \right) c^2 \frac{d^2 x^\alpha}{ds^2}$$

- Suma składowych (odpowiadających wskaźnikowi  $\alpha$ ) przyspieszeń grawitacyjnego i bezwładnościowego swobodnej cząstki

$$\tilde{a}_{\text{grav\&iner}}^\alpha = - \left( \text{sgn } ds^2 \right) c^2 \tilde{k} \Gamma_{\mu\nu}^\alpha \frac{dx^\mu}{ds} \frac{dx^\nu}{ds}$$





Carl Schwarzschild  
(1873-1916)

$$R_{\mu\nu} = 0$$

$$ds^2 = \left(1 - \frac{r_s}{r}\right)^{-1} dr^2 + r^2 d\theta^2 + r^2 \sin^2 \theta d\phi^2 + \left(1 - \frac{r_s}{r}\right) d\tau^2$$

$$ds^2 = g_{rr} dr^2 + g_{\theta\theta} d\theta^2 + g_{\phi\phi} d\phi^2 + g_{\tau\tau} d\tau^2, \quad d\tau^2 = -c^2 dt^2$$

$$r_s = \frac{2GM}{c^2}$$

Promień Schwarzschilda

W rozwiązaniu tym ukryte są czarne dziury.

- K. Schwarzschild: *Über das Gravitationsfeld eines Massenpunktes nach der Einsteinschen Theorie*. Sitzungsberichte der Königlich Preussischen Akademie der Wissenschaften **1**, 7 (1916) 189-196. [Gesamtsitzung vom 13. Januar 1916] *O polu grawitacyjnym punktowej masy według teorii Einsteina*.

# Czarne dziury

- Z podstawowych założeń ogólnej teorii względności wynika, że rozwiązanie Schwarzschilda jest fizyczne dla źródłowych mas o promieniu nie mniejszym niż połowa promienia Schwarzschilda.

$$R \geq \frac{1}{2} r_s = \frac{GM}{c^2}$$

- Mamy też:

$$M \leq \frac{1}{2} R \frac{c^2}{G}$$

- Czarna dziura jest kulą o masie  $M$  i promieniu  $R$ , dla której

$$\frac{c^2}{G} \geq \frac{M}{R} > \frac{c^2}{2G}, \quad 1,3466 \times 10^{27} \frac{\text{kg}}{\text{m}} \geq \frac{M}{R} > 0,6733 \times 10^{27} \frac{\text{kg}}{\text{m}}$$

- Minimalny promień przestrzenny czarnej dziury jest połową promienia Schwarzschilda.

$$R_{\min} = \frac{1}{2} r_s = \frac{GM}{c^2}, \quad M \sim R_{\min}$$

- Gęstość czarnej dziury jest odwrotnie proporcjonalna do kwadratu jej promienia.



John Archibald Wheeler  
(1911-2008)

- Nazwę czarna dziura zaproponował Wheeler (1967 – wykład, 1968 – artykuł).
- Światło nie może wydostać się z wnętrza czarnych dziur i dlatego są one niewidoczne.
- W przypadku czarnej dziury o minimalnym promieniu mamy:

$$\left(\frac{dr}{dt}\right)^2 = c^2 \left(1 - \frac{r^2}{R^2}\right)$$

$$r = 0 \Rightarrow \left(\frac{dr}{dt}\right)^2 = c^2$$

$$r \rightarrow R \Rightarrow \left(\frac{dr}{dt}\right)^2 \rightarrow 0$$

---

	M	r	$r_s$
Proton	$1,67 \cdot 10^{-27} \text{ kg}$		$2,47 \cdot 10^{-54} \text{ m}$
Ziemia	$6 \cdot 10^{24} \text{ kg}$	$6,4 \cdot 10^6 \text{ m}$	$9 \cdot 10^{-3} \text{ m}$
Słońce	$2 \cdot 10^{30} \text{ kg}$	$7 \cdot 10^8 \text{ m}$	$3 \cdot 10^3 \text{ m}$



J. Robert Oppenheimer  
(1904-1967)



Hartland S. Snyder  
(1913-1962)

- J. R. Oppenheimer i H. Snyder wykazali (1939), wykorzystując równania pola Einsteina, że po wyczerpaniu się wszystkich termojądrowych źródeł energii, dostatecznie masywna gwiazda powinna ciągle się kurczyć.
- Zjawisko to nazywane jest grawitacyjnym zapadaniem.

• J. R. Oppenheimer and H. Snyder: *On Continued Gravitational Contraction*.  
Physical Review 56, 5 (September 1, 1939) 455-459.

# Antygrawitacja



- Antygravitacja jest zjawiskiem polegającym na tym, że cząstka znajdująca się w polu grawitacyjnym **nie wirującej** masy źródłowej uzyskuje w pewnym obszarze przyspieszenie skierowane od centrum tej masy.
- W przypadku **wirujących** mas źródłowych we wzorze na przyspieszenie pojawiają się dodatkowe dodatnie człony, których nie będziemy utożsamiali z antygravitacją.

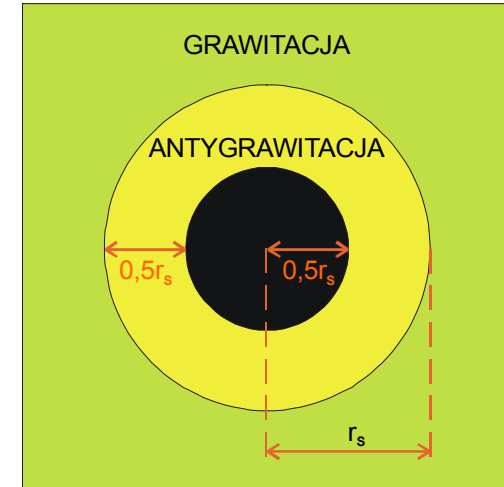
- Czarna dziura z otoczką antygravitacyjną jest kulą o masie  $M$  i promieniu  $R$ , dla której

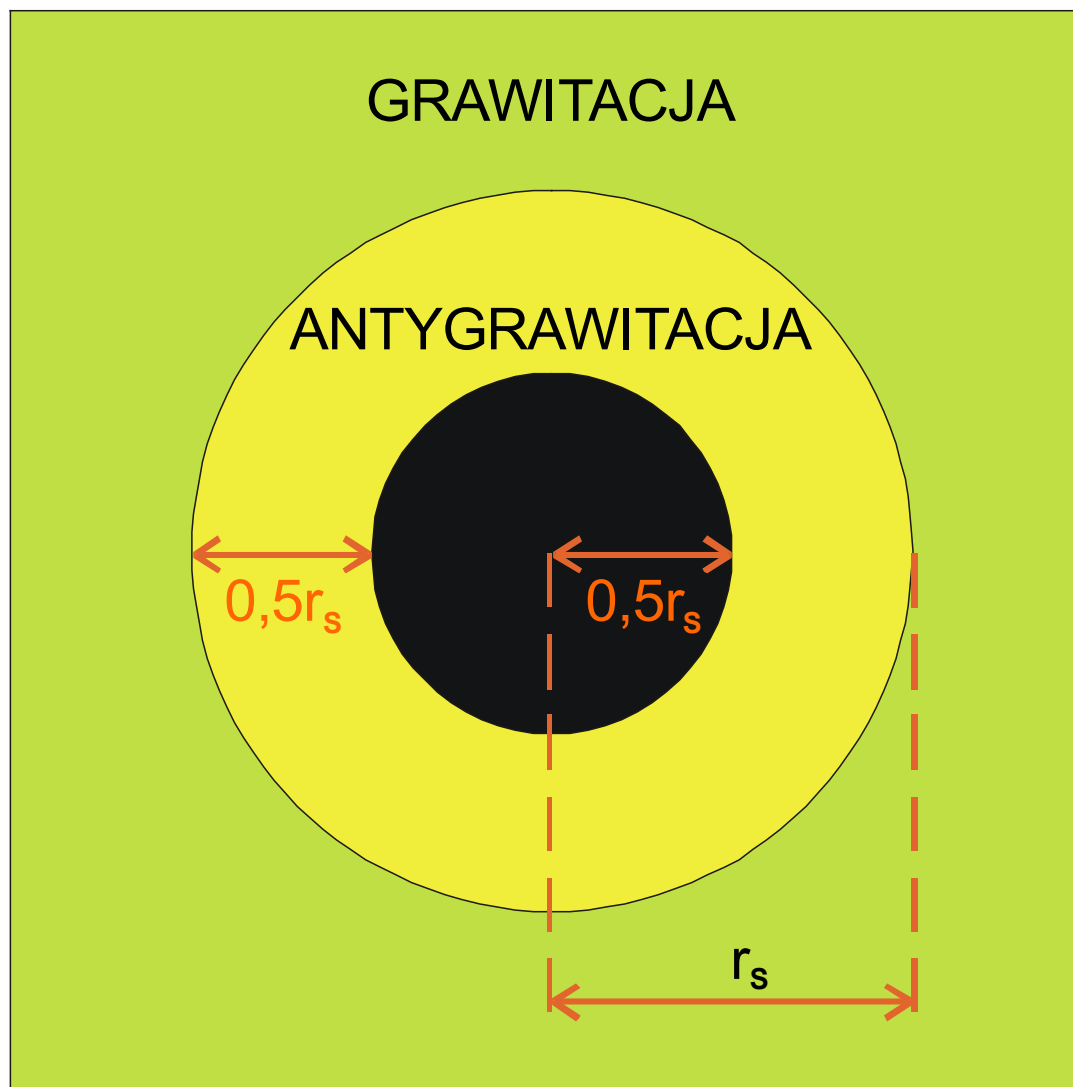
$$\frac{M}{R} = \frac{c^2}{G} \cong 1,3466 \times 10^{27} \frac{\text{kg}}{\text{m}}$$

- Promień przestrzenny czarnej dziury z otoczką antygravitacyjną jest połową promienia Schwarzschilda.

$$R = \frac{1}{2} r_s$$

- Grubości powłoki antygravitacyjnej jest równa promieniowi przestrzennemu czarnej dziury.





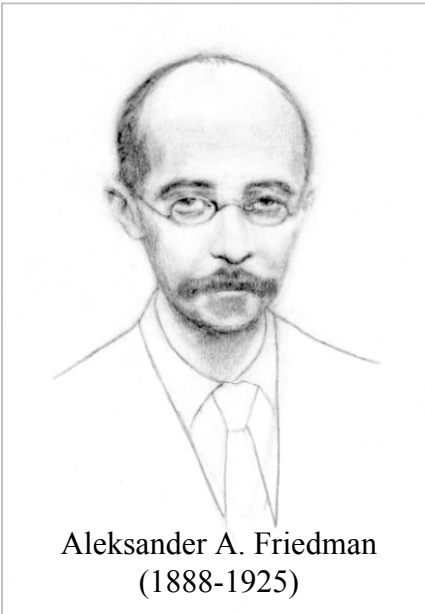
- Jak na Ziemi wykazać istnienie czarnych dziur z otoczką antygravitacyjną?
- Należy zmierzyć wartość prędkości światła w pionowej rurze próżniowej tuż pod powierzchnią Ziemi i tuż nad powierzchnią Ziemi. Jeżeli różnica kwadratów tych pomiarów będzie równa kwadratowi drugiej prędkości kosmicznej, to zostanie potwierdzone istnienie czarnych dziur z otoczką antygravitacyjną.

$$\left(\frac{dr}{dt}\right)_{in}^2 - \left(\frac{dr}{dt}\right)_{out}^2 = \frac{2GM}{R}$$

$$\left(\frac{dr}{dt}\right)_{in} - \left(\frac{dr}{dt}\right)_{ex} \cong \frac{GM}{cR} \cong 0,2 \frac{m}{s}$$

- Indeks „out” odnosi się do wartości prędkości światła tuż nad powierzchnią Ziemi, a indeks „in” – tuż pod powierzchnią Ziemi.

# **Sukcesy i porażki Teorii Wielkiego Wybuchu**



$$R_{\alpha\beta} - \frac{1}{2} g_{\alpha\beta} R - g_{\alpha\beta} \Lambda = -\kappa \left[ (\rho c^{-2} + p) \tilde{v}_{\alpha} \tilde{v}_{\beta} + g_{\alpha\beta} p \right]$$

$$\tilde{v}_1 = \tilde{v}_2 = \tilde{v}_3 = 0, \quad \tilde{v}_4 = ic$$

$$ds^2 = \left( \frac{L}{1 + \frac{1}{4} kr^2} \right)^2 \left[ (dx^1)^2 + (dx^2)^2 + (dx^3)^2 \right] + (dx^4)^2$$

$$r^2 = (x^1)^2 + (x^2)^2 + (x^3)^2$$

$a^2$  = kwadrat promienia krzywizny przestrzeni

$$k = \frac{1}{a^2}$$

$$\text{sgn } k = -1, 0, +1$$

- A. A. Friedman: *Über die Krümmung des Raumes*. Zeitschrift für Physik **10**, 6 (1922) 377-386. *O krzywiznie przestrzeni*.
- A. A. Friedmann: *Über die Möglichkeit einer Welt mit konstanter negativer Krümmung des Raumes*. Zeitschrift für Physik **21**, 5 (1924) 326-332. *O możliwości świata o stałej ujemnej krzywiznie*.
- Z. Osiak: *Ogólna Teoria Względności*. Self Publishing (2012). ISBN: 978-83-272-3515-2



Georges H. J. E. Lemaître  
(1894-1966)



Fred Hoyle  
(1915-2001)

- W modelach Friedmana pojawia się początkowa osobliwość, w której objętość Wszechświata jest równa zero, a jego gęstość nieskończoności.
  - Pierwszą hipotezę, łączącą tę osobliwość z aktem kreacji Wszechświata, wysunął w 1931 Lemaître.
  - Żartobliwą nazwę **Wielki Wybuch** dla tej hipotezy zaproponował Hoyle w 1950 w jednej z prowadzonych przez niego pogadank radiowych.
  - Hoyle jest twórcą Teorii Stanu Stacjonarnego, którą można nazwać teorią ciągle zachodzących Mikro Wybuchów.
- G. E. Lemaître: *The Beginning of the World: from the Point of View of Quantum Theory*. Nature **127**, 3210 (May 9. 1931) 706. *Początek świata: z punktu widzenia teorii kwantowej*.
- F. Hoyle: *A New Model for Expanding Universe*. Monthly Notices of the Royal Astronomical Society **108** (1948) 372-382. *Nowy model rozszerzającego się Wszechświata*.



Heinrich W. M. Olbers  
(1758-1840)

- W czasach kiedy żył Olbers (1758-1840) uważano, że Wszechświat jest statyczny, jednorodny i nieskończony w czasie i przestrzeni, dlatego uznał on ciemność nieba nocą za paradoks (1826).
- Według Teorii Wielkiego Wybuchu niebo w nocy jest ciemne, ponieważ wiek Wszechświata jest skończony i światło z odległych gwiazd jeszcze nie zdążyło dotrzeć do nas, a ponadto jego widmo jest przesunięte ku czerwieni.





- W 1929, czyli cztery lata po śmierci Friedmana, Edwin Powell Hubble oznajmił światu o swoim odkryciu:
- Galaktyki oddalają się z prędkością radialną proporcjonalną do ich odległości od obserwatora.

$$z = \frac{\lambda_{\text{observed}}}{\lambda_{\text{emitted}}} - 1 = \text{poczerwienienie}$$

$$z = \frac{H}{c} x \quad \text{obserwacje Hubble'a}$$

$$z = \frac{v}{c} \quad \text{nierelatywistyczne prawo Dopplera}$$

$$v = Hx \quad \text{prawo Hubble'a, } H \approx 2,27 \cdot 10^{-18} \text{ s}^{-1}$$

• E. P. Hubble: *A Relation Between Distance and Radial Velocity Among Extra-galactic Nebulae*.  
Proceedings of the National Academy of Sciences of the United States of America **15** (1929) 168-173.  
*Związek między odległością i prędkością radialną mgławic pozagalaktycznych.*



Arno A. Penzias  
(1933- )



Robert W. Wilson  
(1936- )

- W 1965 Penzias i Wilson odkryli, że:
- Cały wszechświat wypełniony jest izotropowym promieniowaniem elektromagnetycznym w zakresie mikrofalowym, odpowiadającym temperaturze 3,5 stopni Kelvina, nazwanym promieniowaniem tła lub promieniowaniem reliktowym.
- W 1978 otrzymali za to obaj Nagrodę Nobla z fizyki.
- Według zwolenników Teorii Wielkiego Wybuchu promieniowanie reliktowe jest pozostałością po początkowym akcie kreacji Wszechświata.

• A. A. Penzias and R. W. Wilson: *A Measurement of Excess Antenna Temperature at 4080 MHz*. *Astrophysical Journal* **142** (1965) 419-421. *Pomiar nadwyżki temperatury anteny przy 4080 MHz.*

- W 1976 NASA powołała dwa zespoły badawcze w celu dokonania pomiarów kosmicznego mikrofalowego promieniowania tła przyrządami umieszczonymi na satelicie COBE. Na czele tych zespołów stanęli George F. Smoot oraz John C. Mather.
- Cosmic Background Explorer został wystrzelony **18 listopada 1989**. Wstępne wyniki pomiarów, wykonanych przez aparaturę Badacza Tła Kosmicznego, znane już były dwa miesiące później. Okazało się, że widmo kosmicznego promieniowania tła pokrywa się niemal idealnie z widmem ciała doskonale czarnego o temperaturze 2,735 K z błędem 0,06 K.
- Według innych danych z lat **1991/1992** pochodzących z COBE w naszej galaktyce występuje efekt kwadrupolowy, a w przestrzennym rozkładzie temperatury promieniowania tła istnieją znikome fluktuacje.

John C. Mather  
(1946- )

George F. Smoot  
(1945- )

- Mather i Smoot otrzymali w 2006 Nagrodę Nobla z fizyki  
“za odkrycie, że kosmiczne mikrofalowe promieniowanie tła charakteryzuje się widmem ciała doskonale czarnego oraz anizotropią”.

- Grupa COBE: J. C. Mather i współpracownicy:  
*A Preliminary Measurements of the Cosmic Microwave Background Spectrum by the Cosmic Background Explorer (COBE) Satellite.* Astrophysical Journal Letters **354** (May 10, 1990) L37-L40.  
*Wstępne pomiary spektrum kosmicznego mikrofalowego tła uzyskane przez satelitę COBE.*

- Grupa COBE: G. F. Smoot i współpracownicy:  
*First results of the COBE satellite measurement of the anisotropy of the cosmic microwave background radiation.*  
Advances in Space Research **11**, 2 (1991) 193-205.  
*Pierwsze wyniki pomiaru anizotropii kosmicznego mikrofalowego promieniowania tła uzyskane przez satelitę COBE.*

- Grupa COBE: G. F. Smoot i współpracownicy:  
*Structure in the COBE differential microwave radiometer first-year maps.*  
Astrophysical Journal **396**, 1 (Sept. 1, 1992) L1-L5.

- W 1998 Saul Perlmutter oraz **niezależnie** Brian P. Schmidt i Adam G. Riess odkryli gwałtowny wzrost poczerwienienia światła docierającego do Ziemi z bardzo odległych źródeł.
- Ponieważ uczeni ci są zwolennikami Teorii Wielkiego Wybuchu opartej o kosmologiczne rozwiązanie Friedmana, zinterpretowali swoje obserwacje jako gwałtowny wzrost szybkości ekspansji Wszechświata, który nastąpił około 5 mld lat temu.

• Saul Perlmutter et al.: *Discovery of a supernova explosion at half the age of the Universe.*  
Nature **391** (01 January 1998) 51-54.

• Adam G. Riess et al.: *Observational Evidence from Supernovae for an Accelerating Universe and a Cosmological Constant.*  
The Astronomical Journal **116**, 3 (09/1998) 1009-1038.

Saul Perlmutter  
(1959- )

Brian P. Schmidt  
(1967- )

Adam G. Riess  
(1969- )

Perlmutter, Schmidt i Riess otrzymali w 2011 Nagrodę Nobla z fizyki “za odkrycie przyspieszającej ekspansji Wszechświata na podstawie obserwacji odległych supernowych”.

- Teoria Wielkiego Wybuchu bazująca na rozwiązaniu kosmologicznym Friedmana uporała się z paradoksem fotometrycznym Olbersa, obserwacjami i prawem Hubble'a oraz mikrofalowym promieniowaniem tła.
- Rozwiązanie problemów płaskości i horyzontu wymagało zastosowania „protezy intelektualnej” o inflacyjnej fazie kreacji Wszechświata.
- Teoria Wielkiego Wybuchu „poległa” przy próbie interpretacji gwałtownego wzrostu szybkości ekspansji Wszechświata. Ratunek w postaci postulatu o istnieniu ciemnej energii jest kolejną „protezą intelektualną”.
- Sformułowany przeze mnie paradoks fotonowy oraz próba jego wyjaśnienia sprawiają, że rozwiązanie Friedmana nie może być podstawą realnego modelu kosmologicznego.

# Wszechświat jako czarna dziura



- Teoria względności zarówno szczególna jak i ogólna jest ściśle związana z falową teorią światła (fal elektromagnetycznych). Próba wyjaśnienia grawitacyjnego przesunięcia ku czerwieni na gruncie fotonowej teorii światła w czasoprzestrzeniach innych niż konforemnie płaskich prowadzi do paradoksu.
- W pozostałych czasoprzestrzeniach jednym z rozwiązań paradoksu fotonowego jest założenie, że energia fotonu zależy od punktu czasoprzestrzeni, w którym nastąpiła jego emisja i pozostaje stała podczas wędrówki fotonu.
- Oznacza to, że fotony mają pamięć, lub bardziej uczenie – energia fotonu jest niezmiennikiem. Przy czym, w silniejszym polu grawitacyjnym dane źródło powinno wysyłać fotony o mniejszej energii niż to samo źródło znajdujące się w słabszym polu.

- Pojęcie fotonu w kontekście metryk Schwarzschilda oraz Friedmana prowadzi do paradoksu. Obliczając wpływ każdej z tych metryk na energię fotonu ze wzoru

$$E = \frac{h}{T}$$

lub równoważnego

$$E = \frac{hc}{\lambda}$$

otrzymujemy różne wyniki w zależności od użytego wzoru, ponieważ w tych czasoprzestrzeniach okres i długość fali elektromagnetycznej modelowanej fotonowo zachowują się różnie względem siebie.

## Powszechnie panujący pogląd

- Energia fotonu, emitowanego przez dane źródło, nie zależy od miejsca emisji.
- Foton, wchodząc w obszar słabszego pola grawitacyjnego, zmniejsza swoją energię.

## Hipoteza

- Energia fotonu emitowanego w silniejszym polu grawitacyjnym jest mniejsza niż w słabszym.
- Foton, poruszając się w polu grawitacyjnym, nie zmienia swojej energii. Fotony mają “pamięć”, ponieważ pamiętają w którym punkcie czasoprzestrzeni powstały.

$$E = \frac{E_{\max}}{\sqrt{|g_{11}|}} = \text{const}$$

$$E = \frac{E_{\max}}{\sqrt{|g_{11}|}} = \text{const}$$

 $E_{\max}$ 

energia fotonu emitowanego w czasoprzestrzeni niezdeformowanej

 $g_{11}$ 

składowa tensora metrycznego w punkcie emisji fotonu

$$z^* \stackrel{\text{df}}{=} \frac{E_{\text{lab}} - E_{\text{out}}}{E_{\text{out}}} = \frac{E_{\text{lab}}}{E_{\text{out}}} - 1$$

$$E_{\text{lab}} = \frac{E_{\text{max}}}{\sqrt{g_{11}^{\text{lab}}}}$$

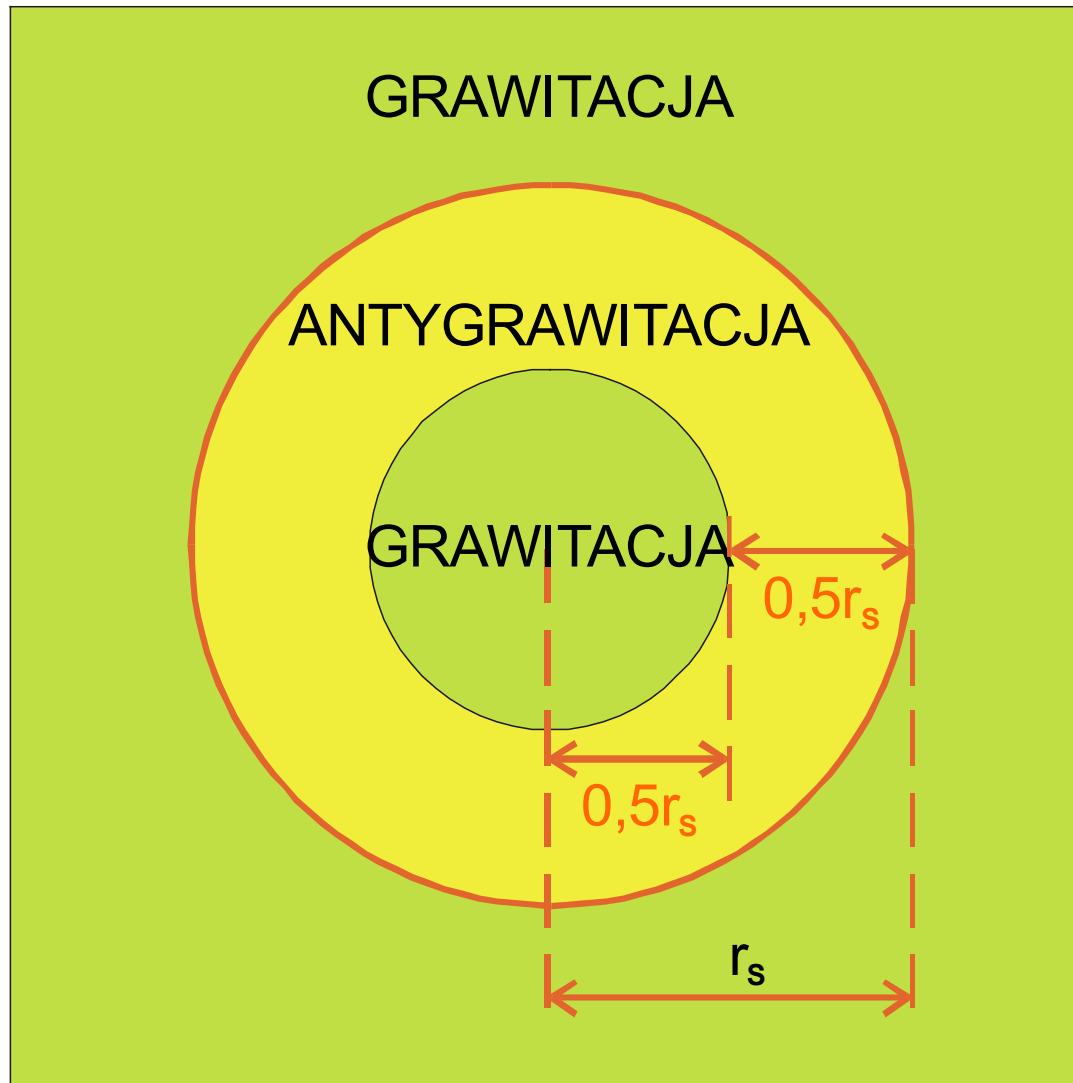
$$E_{\text{out}} = \frac{E_{\text{max}}}{\sqrt{g_{11}^{\text{out}}}}$$

$$z^* = \frac{\sqrt{g_{11}^{\text{out}}}}{\sqrt{g_{11}^{\text{lab}}}} - 1$$

$E_{\text{max}}$

energia fotonu emitowanego w nieobecności pola grawitacyjnego

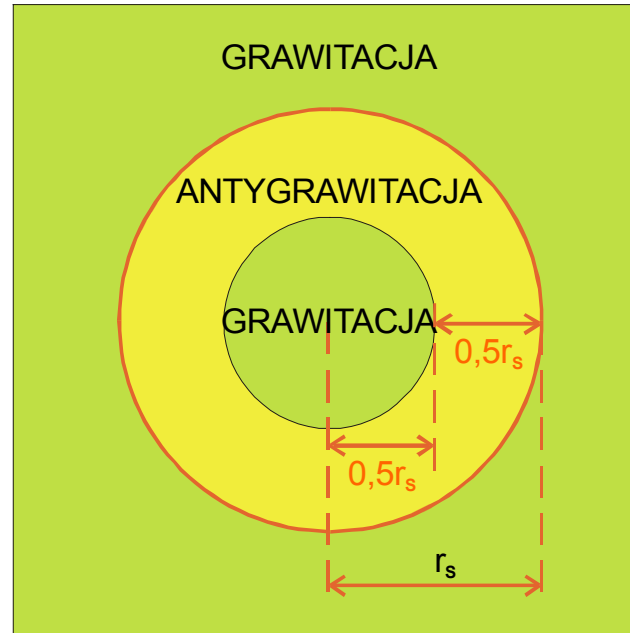
# Nasz Wszechświat jako czarna dziura z otoczką antygravitacyjną



•Z. Osiak: *Antygravitacja*. Self Publishing (2012). ISBN: 978-83-272-3649-4

# Nasz Wszechświat jako czarna dziura z otoczką antygravitacyjną

- Nasz Wszechświat można potraktować jako olbrzymią jednorodną Czarną Dziurę. Izoluje go od reszty Wszechświata obszar przestrzeni, w którym występuje antygravitacja.
- Nasza Galaktyka wraz układem słonecznym oraz Ziemią, które w skali rozmiarów kosmologicznych można uważać za ledwie jako punkt, powinny znajdować się w pobliżu centrum Czarnej Dziury.



• Z. Osiak: *Antygravitacja*.  
Self Publishing (2012).  
ISBN: 978-83-272-3649-4

## Nasz Wszechświat jako czarna dziura z otoczką antygravitacyjną

---

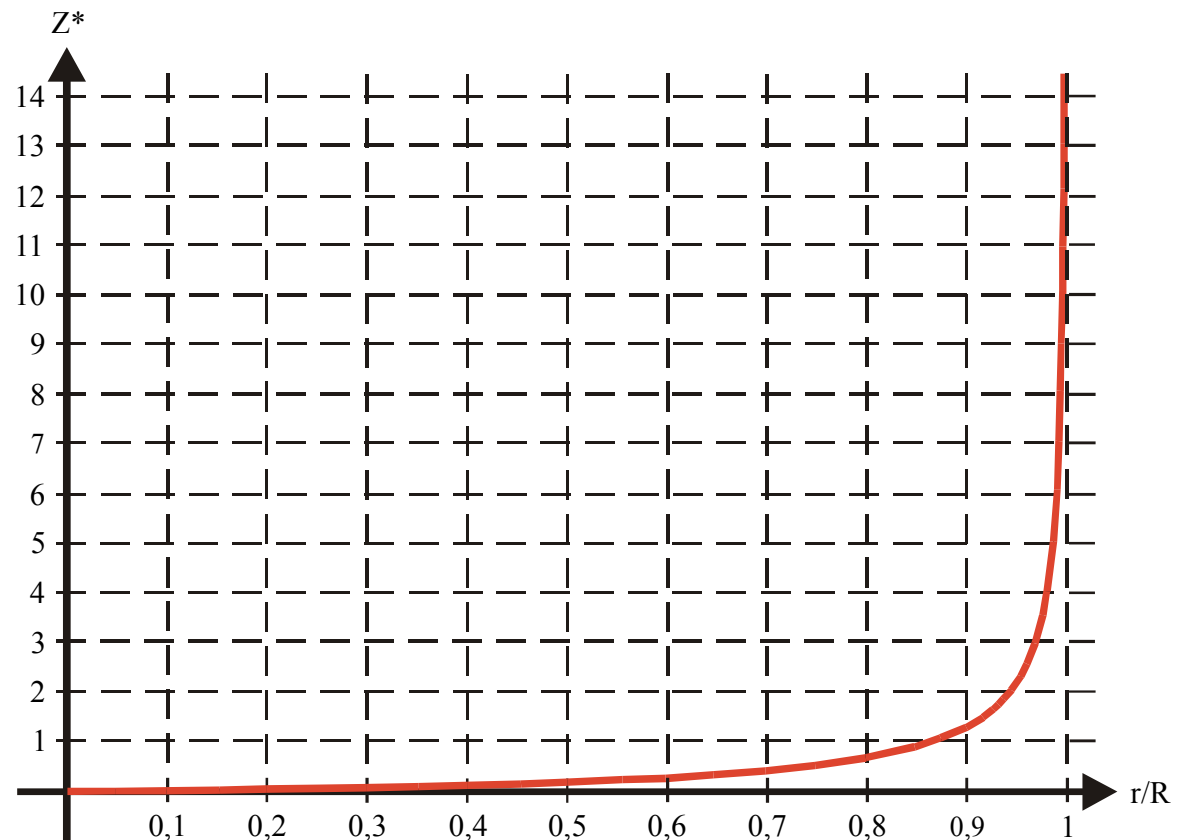
- Promień Naszego Wszechświata wynosi 6,31 mld lat świetlnych.
- Dla  $H = 75 \text{ km/s Mpc}$  gęstość Wszechświata w tym modelu jest ponad 17 razy większa niż w modelu Wszechświata Friedmana i wynosi prawie 51 protonów na metr sześcienny. **Nasz model nie wymaga przyjęcia założenia o istnieniu ciemnej energii.**
- W odległości od środka Ziemi w przybliżeniu równej 236000 lat świetlnych poczerwienienie mierzone względem naszej planety zmienia znak z ujemnego na dodatni.
- Światło docierające do Ziemi z Naszej Galaktyki, której promień wynosi około 50000 lat świetlnych a grubość około 12000 lat świetlnych, powinno być przesunięte ku fioletowi względem światła emitowanego na powierzchni Ziemi. Przy czym ujemna wartość poczerwienienia powinna być zależna od kierunku obserwacji.



# Nasz Wszechświat jako czarna dziura z otoczką antygravitacyjną

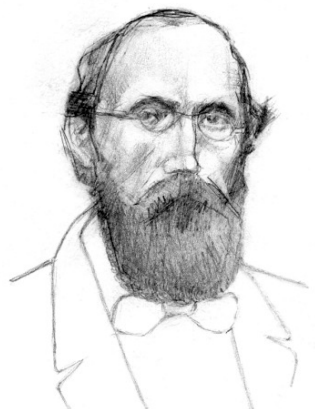
$$z^* \stackrel{\text{df}}{=} \frac{E_{\text{lab}}}{E_{\text{out}}} - 1$$
$$z^* \approx \frac{\sqrt{1 - 1,4 \cdot 10^{-9}}}{\sqrt{1 - \frac{r^2}{R^2}}} - 1$$

- E – energia fotonu
- R – promień Naszego Wszechświata



- Wykres zależności poczerwienienia  $z^*$  od odległości  $r$  źródła od centrum Naszego Wszechświata (**Uwaga:**  $z^*$  przyjmuje wartości ujemne dla stosunku  $r/R$  w przybliżeniu mniejszego niż  $3,74 \cdot 10^{-5}$ .)

# Równania



Georg F. B. Riemann  
(1826-1866)



Elwin B. Christoffel  
(1829-1900)



Gregorio Ricci-Curbastro  
(1853-1925)



Luigi Bianchi  
(1856-1928)



Élie J. Cartan  
(1869-1951)



Tulio Levi-Civita  
(1873-1941)



Marcell Grossmann  
(1878-1936)



Hermann C. H. Weyl  
(1885-1955)

- G. F. Riemann: *Über die Hypothesen, welche der Geometrie zu Grunde liegen*. Wykład habilitacyjny wygłoszony 10 czerwca 1854 roku w Getyndze. *O hipotezach, które leżą u podstaw geometrii*.
- B. Riemann: *Über die Hypothesen, welche der Geometrie zu Grunde liegen*. (Mitgetheilt durch R. Dedekind) Abhandlungen der Königlichen Gesellschaft der Wissenschaften in Göttingen **13** (1868) 133-152.
- E. B. Christoffel: *Über die Transformation der homogenen Differentialausdrücke zweiten Grades*. Journal für die reine und angewandte Mathematik [Crelle's Journal] **70** (1869) 46-70.  
*O przekształceniach jednorodnych form różniczkowych drugiego stopnia*.
- G. Ricci et T. Levi-Civita: *Méthodes de calcul différentiel absolu et leurs applications*. Mathematische Annalen **54** (1901) 125-201. [Padoue, Décembre 1899.]  
*Metody absolutnego rachunku różniczkowego i ich zastosowania*.
- L. Bianchi: *Sui simboli a quattro indici e sulla curvatura di Riemann*. Atti dell'Accademia Nazionale dei Lincei, Rendiconti, **11** (1902) 3-7.  
Znajdują się tu słynne tożsamości Bianchi[ego].
- E. J. Cartan: *Sur une généralisation de la notion de courbure de Riemann et les espaces à torsion*. Comptes Rendus [hebdomadaires des séances] de l'Académie des sciences, Paris **174** (1922) 593-595. [Séance du lundi 27 février 1922.]
- A. Einstein, M. Grossmann: *Entwurf einer verallgemeinerten Relativitätstheorie und einer Theorie der Gravitation*. Zeitschrift für Mathematik und Physik **62**, 3 (1913) 225-261.  
*Zarys uogólnionej teorii względności i teorii grawitacji*.
- T. Levi-Civita: *Nozione di parallelismo in una varietà qualunque e conseguente specificazione geometrica della curvatura Riemanniana*. Rendiconti del Circolo Matematico di Palermo **42** (1917) 173-205. [Adunanza del 24 dicembre 1916.]
- Hermann Weyl: *Reine Infinitesimalgeometrie*. Mathematische Zeitschrift **2** (1918) 384-411. [Strona 404]

$$R_{\mu\nu} = \frac{\partial \Gamma_{\mu\alpha}^{\alpha}}{\partial x^{\nu}} - \frac{\partial \Gamma_{\mu\nu}^{\alpha}}{\partial x^{\alpha}} + \Gamma_{\mu\alpha}^{\beta} \Gamma_{\beta\nu}^{\alpha} - \Gamma_{\mu\nu}^{\beta} \Gamma_{\beta\alpha}^{\alpha}, \quad \Gamma_{\mu\nu}^{\alpha} = \frac{1}{2} g^{\alpha\sigma} \left( \frac{\partial g_{\mu\sigma}}{\partial x^{\nu}} + \frac{\partial g_{\nu\sigma}}{\partial x^{\mu}} - \frac{\partial g_{\mu\nu}}{\partial x^{\sigma}} \right) = \Gamma_{\mu\nu}^{\sigma} = g^{\sigma\alpha} \left[ \begin{matrix} \mu & \nu \\ & \alpha \end{matrix} \right], \quad \Gamma_{\mu\nu}^{\alpha} = \Gamma_{\nu\mu}^{\alpha}, \quad \left[ \begin{matrix} \mu & \nu \\ & \alpha \end{matrix} \right] = \frac{1}{2} \left( \frac{\partial g_{\nu\alpha}}{\partial x^{\mu}} + \frac{\partial g_{\alpha\mu}}{\partial x^{\nu}} - \frac{\partial g_{\mu\nu}}{\partial x^{\alpha}} \right)$$

$$R_{\mu\nu} = \frac{1}{2} \left[ \frac{\partial g^{\alpha\sigma}}{\partial x^{\nu}} \frac{\partial g_{\alpha\sigma}}{\partial x^{\mu}} + g^{\alpha\sigma} \frac{\partial^2 g_{\alpha\sigma}}{\partial x^{\mu} \partial x^{\nu}} - \frac{\partial g^{\alpha\sigma}}{\partial x^{\nu}} \frac{\partial g_{\mu\alpha}}{\partial x^{\sigma}} - g^{\alpha\sigma} \frac{\partial^2 g_{\mu\alpha}}{\partial x^{\sigma} \partial x^{\nu}} + \right. \\ \left. - \frac{\partial g^{\alpha\sigma}}{\partial x^{\alpha}} \frac{\partial g_{\nu\sigma}}{\partial x^{\mu}} - g^{\alpha\sigma} \frac{\partial^2 g_{\nu\sigma}}{\partial x^{\mu} \partial x^{\alpha}} + \frac{\partial g^{\alpha\sigma}}{\partial x^{\alpha}} \frac{\partial g_{\nu\sigma}}{\partial x^{\mu}} + g^{\alpha\sigma} \frac{\partial^2 g_{\mu\nu}}{\partial x^{\sigma} \partial x^{\alpha}} \right] + \\ + \frac{1}{4} g^{\beta\sigma} \left( \frac{\partial g_{\mu\sigma}}{\partial x^{\alpha}} + \frac{\partial g_{\alpha\sigma}}{\partial x^{\mu}} - \frac{\partial g_{\mu\alpha}}{\partial x^{\sigma}} \right) g^{\alpha\lambda} \left( \frac{\partial g_{\beta\lambda}}{\partial x^{\nu}} + \frac{\partial g_{\nu\lambda}}{\partial x^{\beta}} - \frac{\partial g_{\beta\nu}}{\partial x^{\lambda}} \right) + \\ - \frac{1}{4} g^{\beta\sigma} \left( \frac{\partial g_{\mu\sigma}}{\partial x^{\nu}} + \frac{\partial g_{\nu\sigma}}{\partial x^{\mu}} - \frac{\partial g_{\mu\nu}}{\partial x^{\sigma}} \right) g^{\alpha\lambda} \left( \frac{\partial g_{\beta\lambda}}{\partial x^{\alpha}} + \frac{\partial g_{\alpha\lambda}}{\partial x^{\beta}} - \frac{\partial g_{\beta\alpha}}{\partial x^{\lambda}} \right)$$

$$g^{\mu\nu} = g^{-1} \Delta^{\mu\nu}, \quad \Delta^{\mu\nu} = (-1)^{\mu+\nu} M^{\mu\nu}$$

$$\begin{aligned}
 g^{11} &= g^{-1} \left( g_{22}g_{33}g_{44} + g_{23}g_{24}g_{34} + g_{23}g_{24}g_{34} - g_{24}g_{24}g_{33} - g_{22}g_{34}g_{34} - g_{23}g_{23}g_{44} \right) \\
 g^{22} &= g^{-1} \left( g_{11}g_{33}g_{44} + g_{13}g_{14}g_{34} + g_{13}g_{14}g_{34} - g_{14}g_{14}g_{33} - g_{11}g_{34}g_{34} - g_{13}g_{13}g_{44} \right) \\
 g^{33} &= g^{-1} \left( g_{11}g_{22}g_{44} + g_{12}g_{14}g_{24} + g_{12}g_{14}g_{24} - g_{14}g_{14}g_{22} - g_{11}g_{24}g_{24} - g_{12}g_{12}g_{44} \right) \\
 g^{44} &= g^{-1} \left( g_{11}g_{22}g_{33} + g_{12}g_{13}g_{23} + g_{12}g_{13}g_{23} - g_{13}g_{13}g_{22} - g_{11}g_{13}g_{23} - g_{12}g_{12}g_{33} \right) \\
 g^{12} &= g^{-1} \left( g_{14}g_{24}g_{33} + g_{12}g_{34}g_{34} + g_{13}g_{23}g_{44} - g_{12}g_{33}g_{44} + g_{14}g_{23}g_{34} + g_{13}g_{24}g_{34} \right) \\
 g^{13} &= g^{-1} \left( g_{12}g_{23}g_{44} + g_{14}g_{22}g_{34} + g_{13}g_{24}g_{24} - g_{14}g_{23}g_{24} - g_{12}g_{24}g_{34} - g_{13}g_{22}g_{44} \right) \\
 g^{14} &= g^{-1} \left( g_{14}g_{23}g_{23} + g_{12}g_{24}g_{33} + g_{13}g_{22}g_{34} - g_{12}g_{23}g_{34} - g_{14}g_{22}g_{33} - g_{13}g_{23}g_{24} \right) \\
 g^{23} &= g^{-1} \left( g_{11}g_{23}g_{44} + g_{12}g_{14}g_{34} + g_{13}g_{14}g_{24} - g_{11}g_{23}g_{44} - g_{12}g_{14}g_{34} - g_{13}g_{14}g_{24} \right) \\
 g^{24} &= g^{-1} \left( g_{11}g_{23}g_{34} + g_{12}g_{14}g_{33} + g_{13}g_{13}g_{24} - g_{13}g_{14}g_{23} - g_{11}g_{24}g_{33} - g_{12}g_{13}g_{34} \right) \\
 g^{34} &= g^{-1} \left( g_{13}g_{14}g_{22} + g_{11}g_{23}g_{24} + g_{12}g_{12}g_{34} - g_{11}g_{22}g_{34} - g_{12}g_{14}g_{23} - g_{12}g_{13}g_{24} \right)
 \end{aligned}$$

$$\begin{aligned}
 g &= g_{11} \left( g_{22}g_{33}g_{44} + g_{23}g_{24}g_{34} + g_{23}g_{24}g_{34} - g_{24}g_{24}g_{33} - g_{22}g_{34}g_{34} - g_{23}g_{23}g_{44} \right) + \\
 &+ g_{12} \left( g_{14}g_{24}g_{33} + g_{12}g_{34}g_{34} + g_{13}g_{23}g_{44} - g_{12}g_{33}g_{44} - g_{14}g_{23}g_{34} - g_{13}g_{24}g_{34} \right) + \\
 &+ g_{13} \left( g_{12}g_{23}g_{44} + g_{14}g_{22}g_{34} + g_{13}g_{24}g_{24} - g_{14}g_{23}g_{24} - g_{12}g_{24}g_{34} - g_{13}g_{22}g_{44} \right) + \\
 &+ g_{14} \left( g_{14}g_{23}g_{23} + g_{12}g_{24}g_{33} + g_{13}g_{22}g_{34} - g_{12}g_{23}g_{34} - g_{14}g_{22}g_{33} - g_{13}g_{23}g_{24} \right)
 \end{aligned}$$



# Teoria Względności



Zbigniew Osiak

**Czarne Dziury**

11